

CICLOS DE HAMILTON EN REDES  
DE PASO CONMUTATIVO Y DE PASO FIJO\*

M.A. FIOLE Y J.L.A. YEBRA

ABSTRACT

*From a natural generalization to  $Z^2$  of the concept of congruence, it is possible to define a family of 2-regular digraphs that we call "commutative-step networks". Particular examples of such digraphs are the cartesian product of two directed cycles,  $C_1 \times C_h$ , and the "fixed-step network" (or "2-step circulant digraph")  $D_{N,a,b}$ .*

*In this paper the theory of congruences in  $Z^2$  is applied to derive three equivalent characterizations of those commutative-step networks that have a hamiltonian cycle. Some known results are then obtained as a corollary. For instance, necessary and sufficient conditions for  $C_1 \times C_h$  or  $D_{N,a,b}$  to be hamiltonian are discussed.*

1. Introduction.

En este trabajo se manejan conceptos estandar en teoría de grafos. Ver, por ejemplo, [2] o [12].

Sea  $G$  un grupo y  $\Delta$  un conjunto generador de  $G$ . El diagrama de Cayley (también llamado "Cayley color graph" o "color graph") [12], de  $G$  relativo a  $\Delta$  es el digrafo

---

\*Este trabajo forma parte de los proyectos de investigación 1180/84 y 0173/86, subvencionados por la Comisión Interministerial de Ciencia y Tecnología, CICYT.

$D_{\Delta}(G) = (V, A)$  cuyos vértices corresponden a los elementos de  $G$ , y existe el arco  $[g_1, g_2] \in A$ ,  $g_1, g_2 \in V$  con "color"  $h \in \Delta$  sii  $g_1 h = g_2$ .

Sea  $Z_N$  el grupo cíclico de orden  $N$  cuyos elementos denotamos por  $\{0, 1, 2, \dots, N-1\}$  y la operación es la suma mod.  $N$ . Evidentemente, si  $m$  es un generador de  $Z_N$ , m.c.d.  $\{m, N\} = (m, N) = 1$ , el diagrama de Cayley  $D_{\{m\}}(Z_N)$  es un ciclo dirigido de  $N$  vértices.

Entonces, ya que el concepto de congruencia en  $Z$  conduce a la consideración de ciclos -digrafos 1-regulares-, parece ser que una adecuada generalización de dicho concepto a  $Z^n$ , permitirá construir, y estudiar, una cierta familia de digrafos  $n$ -regulares.

Aunque en la Sección 2 esta generalización se hace para todo  $n \geq 1$ , en las siguientes nos centramos en el estudio de las redes derivadas de la congruencia en  $Z^2$ , a las que llamamos "redes de pasos conmutativos". Recientemente, estas redes (o, como caso particular, las llamadas "redes de paso fijo"; ver Sección 5) han sido ampliamente estudiadas por lo que respecta principalmente a la minimización de sus parámetros diámetro y distancia media [3], [4], [5], [7], [8] y [13]. En cambio, en este trabajo nos limitamos al estudio de su carácter hamiltoniano, es decir, existencia de ciclos de Hamilton. Más concretamente, aplicamos la teoría de congruencias en  $Z^2$  para obtener tres caracterizaciones equivalentes de las redes de pasos conmutativos que son hamiltonianas. Los resultados obtenidos generalizan los dados en [9] y [11] (y también, implícitamente, en [10]) sobre la existencia de ciclos de Hamilton en el producto cartesiano de dos ciclos dirigidos.

## 2. Congruencias en $Z^n$ .

Sea  $M$  una matriz  $n \times n$  formada por los vectores (fila) de componentes enteras  $m_1, m_2, \dots, m_n \in Z^n$  linealmente independientes, es decir  $N = \det M \neq 0$ .

Tal como en [6], e inspirándose en la definición de congruencia en  $Z$ , decimos que los

vectores  $a, b \in Z^n$  son congruentes modulo  $M$ , denotándolo por

$$a \equiv b \pmod{M}, \quad (1)$$

sí y sólo si

$$(a - b)M^{-1} \in Z^n, \quad (2a)$$

es decir, existe el vector  $\lambda \in Z^n$  tal que

$$a = b + \lambda M. \quad (2b)$$

Notar que el conjunto de "puntos" de la forma  $\lambda M$  con  $\lambda \in Z^n$  es un retículo, y las condiciones (2a) y (2b) equivalen a decir que  $a - b$  pertenece a él.

Si  $n = 1$ ,  $M$  es un entero (matriz  $1 \times 1$ ) y la anterior definición coincide con la de congruencia en  $Z$ .

Es fácil comprobar que la congruencia en  $Z^n$  es una relación de equivalencia. Por tanto, nos permite dividir a los vectores de  $Z^n$  en clases de equivalencia o "clases residuales". En [6] se demuestra que, para cada  $M$ , existen  $N = |\det M|$  de tales clases y, además, si  $\{r_0, r_1, \dots, r_{N-1}\}$  es un sistema completo de residuos mod.  $M$  (conjunto formado por un representante de cada clase), el conjunto de  $n$ -cubos unitarios con centros  $r_0, r_1, \dots, r_{N-1}$  tesela periódicamente, mediante traslaciones, el espacio  $R^n$ .

Por otra parte, el conjunto de vectores de  $Z^n$  mod.  $M$  (o conjunto de clases residuales en  $Z^n$  mod.  $M$ ), junto con la operación suma, tiene estructura de grupo abeliano al que denotaremos por  $A_M$ . Esto es evidente si consideramos que  $Z^n M$  es un subgrupo normal de  $Z^n$  y, entonces,  $A_M \cong Z^n / Z^n M$ . De ahora en adelante seguiremos la convención usual de identificar cada clase de equivalencia por cualquiera de sus representantes.

### 3. Redes de pasos conmutativos.

A partir de ahora restringiremos nuestro estudio a  $Z^2$ .

Sea la matriz  $M = \begin{pmatrix} 1 & -y \\ -x & h \end{pmatrix}$  y supongamos, sin pérdida de generalidad, que  $\det M > 0$  (más adelante queda justificada esta nomenclatura). Evidentemente,  $\Delta = \{(1,0), (0,1)\}$  siempre es un conjunto generador del grupo  $A_M$  con  $N = \det M = 1h - xy$  elementos. Entonces la red, o digrafo 2-regular, de pasos conmutativos asociada a  $M$ ,  $D_M(V, A)$ , no es más que el diagrama de Cayley  $D_\Delta(A_M)$ . Recíprocamente, se puede demostrar que el diagrama de Cayley de cualquier grupo abeliano relativo a un conjunto generador con 2 elementos es una red de pasos conmutativos, o sea, tiene asociado una matriz  $M$ .

Así los vértices de  $D_M$  corresponden a los vectores de  $Z^2 \text{ mod. } N$ , de manera que, para identificar los elementos de  $V$ , podemos escoger un sistema completo de residuos mod.  $M$   $\{r_0, r_1, \dots, r_{N-1}\}$ . Entonces,  $[r_i, r_j] \in A$  sii

$$r_j = r_i + (1,0) \pmod{M} \quad \text{o} \quad r_j = r_i + (0,1) \pmod{M}. \quad (3)$$

Debido a ello, y según lo explicado en la Sección 2, podemos hacer corresponder a cada digrafo  $D_M$  una teselación de  $R^2$  caracterizada por la elección del conjunto  $\{r_0, r_1, \dots, r_{N-1}\}$ . Ya que en los anteriormente citados trabajos, los parámetros a estudiar estaban relacionados con la distancia entre vértices, se eligieron los  $N$  "puntos" ( $N$  vértices distintos mod.  $M$ ) de manera que tuvieran coordenadas no negativas y distancia ortogonal al origen -vértice  $0=(0,0)$ - mínima.

Con estas restricciones, está demostrado, [1], [5], [13], que siempre es posible elegir  $r_0, r_1, \dots, r_{N-1}$  de manera que los cuadrados unitarios centrados en ellos formen una "L" caracterizada por sus dimensiones  $l, h, x, y$ , según muestra la Fig. 1. Además, en este caso, existe una sencilla relación entre estos parámetros y los elementos de la matriz  $M$ , ver Fig. 2.

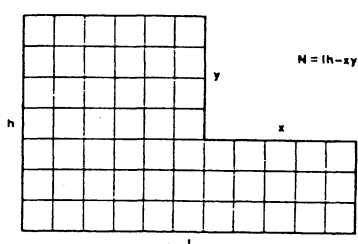


Fig. 1

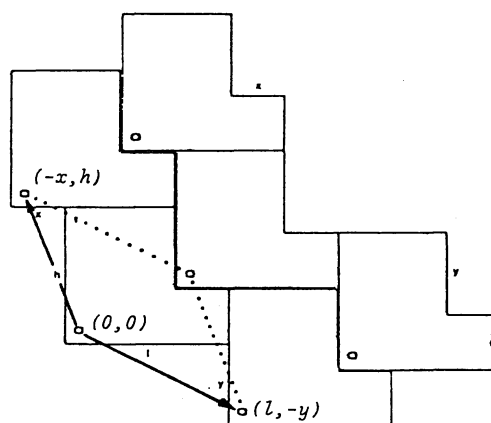


Fig. 2

Si  $x = y = 0$ , la "L" degenera en un rectángulo de base  $l$  y altura  $h$  que da lugar a la teselación trivial. Además, ahora la congruencia  $a \equiv b \pmod{M}$  es equivalente a las dos congruencias en  $Z$ :  $a_1 \equiv b_1 \pmod{l}$  y  $a_2 \equiv b_2 \pmod{h}$ . Entonces, la red de pasos conmutativos  $D_M$  coincide con el producto cartesiano  $C_l \times C_h$  de dos ciclos dirigidos [11].

#### 4. Ciclos hamiltonianos en redes de pasos conmutativos.

En primer lugar, deduciremos un resultado importante, sobre el que está basado el estudio central de esta sección, a saber: dar condiciones necesarias y suficientes para que  $D_M$  sea hamiltoniano.

Sea, como antes, la matriz  $M = \begin{pmatrix} 1 & -y \\ -x & h \end{pmatrix}$  con determinante  $N = lh - xy$ . Dado el vector  $a = (a_1, a_2)$ , nos interesa encontrar el orden del subgrupo de  $A_M$  generado por  $a$ , o *orden de  $a$* , que denotamos por  $o(a)$ . Es decir, buscamos el mínimo  $\alpha \in Z^+$  tal que  $\alpha a \equiv 0 \pmod{M}$  ó, según (2a),

$$\alpha a M^{-1} = \lambda \tag{4}$$

con  $\lambda = (\lambda_1, \lambda_2) \in Z^n$ .

Desarrollando (4), obtenemos

$$\alpha(a_1 h + a_2 x, a_1 y + a_2 l) = N(\lambda_1, \lambda_2). \quad (5)$$

Igualando componentes, resulta

$$\frac{N}{\alpha} = \frac{a_1 h + a_2 x}{\lambda_1} = \frac{a_1 y + a_2 l}{\lambda_2}. \quad (6)$$

Como  $\alpha$  es mínimo,  $\frac{N}{\alpha}$  es máximo. Por tanto,

$$\frac{N}{\alpha} = (N, a_1 h + a_2 x, a_1 y + a_2 l), \quad (7)$$

de donde

$$o(a) = \alpha = \frac{N}{(N, a_1 h + a_2 x, a_1 y + a_2 l)}. \quad (8)$$

Notar que, evidentemente,  $a \equiv b \pmod{M} \rightarrow o(a) = o(b)$ .

Ahora ya podemos estudiar las condiciones que tiene que cumplir  $M$ , para que el digrafo 2-regular  $D_M = (V, A)$  sea hamiltoniano. Las ideas básicas usadas en la demostración son las mismas que en [10] y [11], pero aplicaremos ahora la teoría de congruencias en  $Z^3$ .

Supongamos que  $v_0, v_1, \dots, v_{N-1}$  son los sucesivos vértices de un ciclo hamiltoniano en  $D_M$ , por tanto  $\forall i \in Z_N$  el vértice adyacente desde  $v_i$  es el  $v_{i+1}$  con

$$v_{i+1} = v_i + (1, 0) \quad \text{ó} \quad v_{i+1} = v_i + (0, 1), \quad (9)$$

(a partir de aquí la adición de enteros [vectores de  $Z^2$ ] se entenderá siempre módulo  $N$  [módulo  $M$ ]).

La existencia de este ciclo induce una partición de  $V$  en los siguientes conjuntos:

$$\begin{aligned} V_1 &= \{v_i \mid v_{i+1} = v_i + (1, 0)\}; \\ V_2 &= \{v_j \mid v_{j+1} = v_j + (0, 1)\}; \end{aligned} \quad (10)$$

Es fácil demostrar [11, Lema 1] que  $v \in V_k \rightarrow u = v + (1, -1) \in V_k, k = 1, 2$ . En efecto, según se ve en la Fig. 3, de los 4 casos posibles debemos eliminar (b) y (c) por contradecir la hipótesis de que  $v_0, v_1, \dots, v_{N-1}$  constituye un ciclo de Hamilton. Entonces,

$$v \in V_k (k = 1, 2) \rightarrow v + \gamma(1, -1) \in V_k \quad \forall \gamma \in Z, \tag{11}$$

es decir que  $V_1$  y  $V_2$  constituyen una partición del conjunto de clases laterales del subgrupo de  $A_M, H$ , generado por el vector  $a = (1, -1)$ . En realidad esta condición es un caso particular de la dada por Rankin [10] en su trabajo pionero sobre ciclos de Hamilton en diagramas de Cayley.

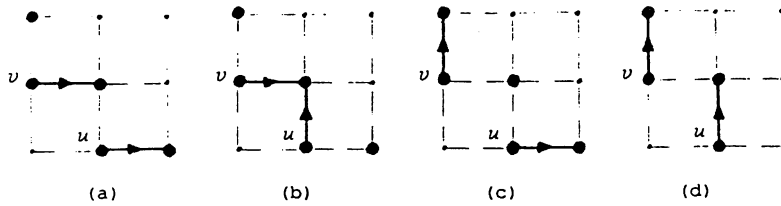


Fig. 3

Aplicando (8), vemos que el orden de  $H$  es

$$o(H) = o(a) = \frac{N}{d}, \tag{12}$$

con

$$d = (N, h - x, y - 1) = (h - x, 1 - y), \tag{13}$$

ya que

$$N = \det M = lh - xy = l(h - x) + x(1 - y).$$

Notar que, en el plano, todos los puntos (vectores) de  $Z^2$  pertenecientes a la clase lateral  $\{(v_1, v_2) + \gamma(1, -1); \gamma \in Z\}$  están sobre la recta de ecuación  $x + y = v_1 + v_2$ . Como existen  $n/o(H) = d$  clases laterales, las rectas correspondientes a la misma clase

lateral deben estar equiespaciadas a distancia ortogonal  $d$ , es decir deben ser de la forma  $x + y = v_1 + v_2 + kd$ ,  $k \in \mathbb{Z}$ .

Por otra parte,  $\forall i = 0, 1, \dots, N-1$ , deben existir enteros  $e_1, e_2 \geq 0$ ,  $e_1 + e_2 = d$  tales que

$$v_{i+d} = v_i + (e_1, e_2). \quad (14)$$

En resumen,  $v_i$  y  $v_{i+d}$  pertenecen a la misma clase lateral,

$$v_j \in V_k \Leftrightarrow v_{j+d} \in V_k, \quad k = 1, 2, \quad (15)$$

ver [11, Lema 2].

Supongamos ahora que, si tomamos en (14)  $i = 0$ , tenemos  $e_1 = d_1$  y  $e_2 = d_2$ , es decir,

$$v_d = v_0 + (d_1, d_2) = (d_1, d_2), \quad (16)$$

donde, sin pérdida de generalidad, hemos supuesto  $v_0 = (0, 0)$ .

Si aplicamos (15) iterativamente partiendo de los  $d$  vértices del camino dirigido  $v_0, v_1, \dots, v_{d-1}$  vemos que todos los "trozos", del ciclo hamiltoniano, de la forma  $v_{kd}, v_{kd+1}, \dots, v_{kd+d-1}$ ,  $k \in \mathbb{Z}^+$ , son idénticos en el sentido de que sus respectivos vértices  $i$ -ésimos,  $i = 0, 1, \dots, d-1$ , pertenecen al mismo conjunto  $V_k$ . Entonces considerando (16) debe cumplirse

$$v_{kd} = v_0 + k(d_1, d_2) = k(d_1, d_2). \quad (17)$$

Además, si  $t = o((d_1, d_2))$ ,  $t(d_1, d_2) = (0, 0) = v_0$ , es decir, el ciclo de Hamilton está formado por  $t$  de tales "trozos", y como cada uno de ellos tiene  $d$  vértices,  $td = N$ , de donde, recordando (12),

$$t = o((d_1, d_2)) = \frac{N}{d} = o((1, -1)) \quad (18)$$

(ver [10, Teor. 4]) y ya que, según (8),

$$o((d_1, d_2)) = \frac{N}{(N, d_1h + d_2x, d_1y + d_2l)},$$

llegamos a la igualdad

$$d = (h - x, l - y) = (N, d_1 h + d_2 x, d_1 y + d_2 l). \quad (19)$$

Todo ello nos permite enunciar el siguiente resultado.

**Teorema 1.** Sea la matriz  $M = \begin{pmatrix} 1 & -y \\ -x & h \end{pmatrix}$ ,  $N = \det M > 0$  y  $d = (h - x, l - y)$ . El digrafo de pasos conmutativos  $D_M$  es hamiltoniano sí y sólo si existen enteros  $d_1, d_2 \geq 0$ ,  $d_1 + d_2 = d$ , tales que

$$(N, d_1 h + d_2 x, d_1 y + d_2 l) = d. \quad (20)$$

*Demostración.* La necesidad ya ha sido establecida anteriormente al discutir todos los resultados derivados de la hipótesis de existencia del ciclo  $v_0, v_1, \dots, v_{N-1}$ , y que quedaron resumidos en (19).

En cuanto a la suficiencia, la existencia de  $d_1$  y  $d_2$  que cumplen (20) posibilita la misma sencilla construcción descrita en [11]. En efecto, basta elegir como se desee el trozo de camino dirigido  $v_0, v_1, \dots, v_d$  entre  $v_0 = (0, 0)$  y  $v_d = (d_1, d_2)$  (como veremos, en algunos casos triviales la elección es obligada) y, a partir de él, "repitiendo el modelo" aplicando (14) con  $(e_1, e_2) = (d_1, d_2) \forall i = 0, 1, \dots, N - 1$ , construir el resto del ciclo hamiltoniano.

**Corolario 1.** Si se cumple una de las condiciones

$$(h, y) = 1 \quad \text{ó} \quad (1, x) = 1, \quad (21)$$

entonces  $D_M$  es hamiltoniano.

*Demostración.* En efecto, si  $(h, y) = 1$ , el vector  $(d_1, d_2) = (d, 0)$  satisface (20) ya que

$$(N, dh, dy) = d(N/d, h, y) = d.$$

Análogamente, si  $(1, x) = 1$ , tomamos  $(d_1, d_2) = (0, d)$ .

Evidentemente, si  $d = 1$ , el cumplimiento de una de las expresiones (21) es también condición necesaria para la existencia de un ciclo de Hamilton, pues las únicas posibles elecciones de  $(d_1, d_2)$  son  $(1, 0)$  y  $(0, 1)$ . Si además  $x = y = 0$ , las condiciones (21) se transforman en  $h = 1$ , ó  $l = 1$ .

A continuación estudiamos una condición equivalente a (20).

Como, según hemos visto, el vector  $(d_1, d_2)$  pertenece al subgrupo  $H$  generado por  $(1, -1)$ , existe un entero positivo  $\beta$  (que, evidentemente, puede tomarse mod.  $N/d$ ) tal que

$$(d_1, d_2) \equiv \beta(1, -1) \pmod{M}. \quad (22)$$

De manera que la condición (20) se traduce en

$$(N, \beta(h-x), \beta(y-1)) = (N, \beta d) = d, \quad (23)$$

de donde

$$\left(\frac{N}{d}, \beta\right) = 1. \quad (24)$$

Por otra parte, según la definición de congruencia (2b), (22) significa que existe  $\lambda = (\lambda_1, \lambda_2) \in Z^2$  tal que

$$(d_1, d_2) = \beta(1, -1) + (\lambda_1 + \lambda_2) \begin{pmatrix} 1 & -y \\ -x & h \end{pmatrix}, \quad (25)$$

que equivale al sistema de ecuaciones

$$d_1 = \beta + \lambda_1 l - \lambda_2 x \quad (26a)$$

$$d_2 = -\beta - \lambda_1 y + \lambda_2 h \quad (26b)$$

Sumando miembro a miembro,

$$d = \lambda_1(1-y) + \lambda_2(h-x) \quad (27)$$

lo cual, recordando que  $d = (1-y, h-x)$ , confirma la existencia de los enteros  $\lambda_1$  y  $\lambda_2$  (es decir la pertenencia a  $(d_1, d_2)$  al subgrupo  $H$ ) al mismo tiempo que nos indica la forma de calcularlos.

Como la condición (20) se ha demostrado equivalente a (24), nos interesa conocer el valor de  $\beta$ , que denotamos por  $\beta_{(d_1, d_2)}$ , corresponde a cada posible vector  $(d_1, d_2)$ . Según las ecuaciones (26), tendremos

$$\beta_{(0, d)} = -\lambda_1 l + \lambda_2 x \quad (28)$$

$$\beta_{(d, 0)} = -\lambda_1 y + \lambda_2 h = \beta_{(0, d)} + d, \quad (28)$$

con  $\lambda_1$  y  $\lambda_2$  enteros que satisfacen (27).

Estamos ya en condiciones de dar el resultado equivalente al Teorema 1.

**Teorema 1'.** Sea la matriz  $M = \begin{pmatrix} 1 & -y \\ -x & h \end{pmatrix}$ ,  $N = \det M > 0$ ,  $d = (h - x, 1 - y)$  y  $\lambda_1, \lambda_2$  enteros tales que  $\lambda_1(1 - y) + \lambda_2(h - x) = d$ . Sea  $\gamma = \beta_{(0, d)} = -\lambda_1 l + \lambda_2 x$ . Entonces el digrafo  $D_M$  es hamiltoniano sí y sólo si existe algún entero  $\beta \in [\gamma, \gamma + d]$  tal que

$$\left( \beta, \frac{N}{d} \right) = 1. \quad (30)$$

La condición (30) junto con las ecuaciones (26a) y (26b) nos van a permitir dar condiciones necesarias para que los enteros  $d_1, d_2$  cumplan la condición (20) y, por tanto, permitan obtener un ciclo de Hamilton.

**Corolario 3.** Condiciones necesarias para que  $\beta_{(d_1, d_2)}$  satisfaga (32) (o, equivalentemente,  $d_1, d_2$  cumplan (20)) son:

$$(d_1, l, x) = 1; \quad (31a)$$

$$(d_2, h, y) = 1. \quad (31b)$$

*Demostración.* Supongamos que  $(d_1, l, x) = p > 1$ . Entonces, según (26a),  $p$  divide a  $\beta$ .

Además, por ser

$$\frac{N}{d} = \frac{hl - xy}{(h - x, l - y)} = l \frac{h - x}{(h - x, l - y)} + x \frac{l - y}{(h - x, l - y)},$$

$p$  divide a  $\frac{N}{d}$ . Por tanto  $\left( \beta, \frac{N}{d} \right) \geq p > 1$ . De forma análoga se demuestra la necesidad de (31b).

De los anteriores resultados se obtienen fácilmente las condiciones, dadas en [11], para que el producto cartesiano de dos ciclos dirigidos sea hamiltoniano.

**Corolario 2.** [11, Teor. 1]. Sean  $C_l$  y  $C_h$  dos ciclos dirigidos con  $l > 1$  y  $h > 1$  vértices respectivamente. El producto cartesiano  $C_l \times C_h$  es hamiltoniano sii se cumplen las dos siguientes condiciones:

$$a) (l, h) = d \geq 2; \quad (32a)$$

$$b) \exists d_1, d_2 > 0, d_1 + d_2 = d, \text{ tales que } (d_1, l) = (d_2, h) = 1. \quad (32b)$$

*Demostración.* Ya vimos que  $C_l \times C_h$  es isomorfo al digrafo de pasos conmutativos  $D_M$  con  $M = \begin{pmatrix} l & 0 \\ 0 & h \end{pmatrix}$ .

La condición a) es necesaria ya que, según la nota posterior al Corolario 1,  $d = 1$  supone  $h = l$  ó  $l = 1$  en contra de la hipótesis. En cuanto a la necesidad de b), es un caso particular del Corolario 3 con  $x = y = 0$ .

Por otra parte, haciendo  $x = y = 0$ ,  $N = lh$  y  $d = (l, h)$  en (20) nos queda la condición

$$(lh, d_1 h, d_2 l) = (l, h), \quad (33)$$

pero

$$\begin{aligned} (lh, d_1 h, d_2 l) &= ((h, d_2)l, d_1 h) = (h, d_2) \left( l, d_1 \frac{h}{(h, d_2)} \right) = \\ &= (h, d_2)(l, d_1) \left( \frac{l}{(l, d_1)}, \frac{d_1}{(l, d_1)} \frac{h}{(h, d_2)} \right) = \\ &= (h, d_2)(l, d_1) \left( \frac{l}{(l, d_1)}, \frac{h}{(h, d_2)} \right), \end{aligned}$$

ya que  $\left( \frac{l}{(l, d_1)}, \frac{d_1}{(l, d_1)} \right) = 1$ . Por tanto, (33) se cumple si  $(d_1, l) = (d_2, h) = 1$ , lo que demuestra la suficiencia.

Finalmente, veamos un tercer resultado, equivalente a los Teoremas 1 y 1', que generaliza algunos resultados obtenidos en [9].

**Teorema 1''.** Sea la matriz  $M = \begin{pmatrix} l & -y \\ -x & h \end{pmatrix}$ ,  $N = \det M > 0$  y  $d = (h - x, l - y)$ . El digrafo de pasos conmutativos  $D_M$  es hamiltoniano sí y sólo si existen enteros  $m, n$ ,  $0 \leq lm - xn \leq N$  (ó  $0 \leq hn - my \leq N$ ), tales que  $(m, n) = 1$  y

$$m(l - y) + n(h - x) = N.$$

La demostración de la equivalencia con el Teorema 1, cuyos detalles omitimos, es un simple ejercicio si consideramos que la relación que liga los dos pares de enteros  $m, n$  y  $d_1, d_2$  es

$$\begin{pmatrix} h & x \\ y & l \end{pmatrix} \begin{pmatrix} d_1 \\ d_2 \end{pmatrix} = d \begin{pmatrix} m \\ n \end{pmatrix}.$$

Como se ha dicho antes, el Teorema 1'' generaliza algunos resultados obtenidos en [9], utilizando teoría de nudos en el toro, para  $x = y = 0$  (producto cartesiano de ciclos dirigidos) e  $y = 0$ .

##### 5. Ciclos hamiltonianos en redes de paso fijo.

Sean  $a$  y  $b$  dos generadores de  $Z_N$ , esto es  $(a, b, N) = 1$ . Llamaremos red de paso fijo al diagrama de Cayley  $D_{\{a,b\}}(Z_N)$ . Así los vértices se denotan por  $0, 1, \dots, N - 1$  y, desde cada vértice  $i$  se establecen arcos hacia los vértices  $i + a \pmod{N}$  e  $i + b \pmod{N}$ .

Según lo explicado al principio de la Sección 3, como  $Z_N$  es abeliano  $D_{\{a,b\}}(Z_N)$  puede considerarse como un caso particular de red de pasos conmutativos. En efecto  $a$  y  $b$  corresponden respectivamente a los generadores  $(1, 0)$  y  $(0, 1)$  y la matriz  $M$  puede calcularse considerando, a partir de  $a, b$ , y  $N$ , la distribución en el plano  $Z^2$  de los enteros mod.  $N$ . Ver Fig. 4.

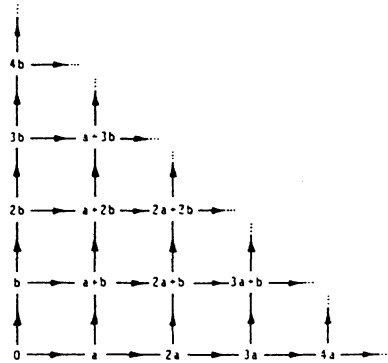


Fig. 4

Como todos los resultados anteriores vienen dados en función de  $M$ , nos planteamos el problema inverso, es decir, dada la matriz  $M$  ¿cuando  $D_M$  es una red de paso fijo, y en su caso, como vienen expresados  $a$  y  $b$  en función de los elementos de  $M$ ?

Considerando que  $Z_N$  es cíclico, es fácil mostrar que  $D_M$  es una red de paso fijo sii  $A_M$  es cíclico (ver detalles en [4] o [5]). Además, en estas mismas referencias se demuestra que  $A_M$  es cíclico sii

$$(l, h, x, y) = 1. \tag{34}$$

(Una generalización de este resultado para  $n > 2$  puede hallarse en [6]). Si se cumple esta condición, podremos calcular  $a$  y  $b$  a partir de las ecuaciones (ver Fig. 2)

$$\begin{pmatrix} l & -y \\ -x & h \end{pmatrix} \begin{pmatrix} a \\ b \end{pmatrix} = N \begin{pmatrix} \alpha \\ \beta \end{pmatrix}, \quad \alpha, \beta \in Z, \tag{35}$$

de donde

$$\begin{pmatrix} a \\ b \end{pmatrix} = \begin{pmatrix} h & y \\ x & l \end{pmatrix} \begin{pmatrix} \alpha \\ \beta \end{pmatrix}, \tag{36}$$

con  $\alpha$  y  $\beta$  enteros tales que

$$(a, b, N) = 1. \tag{37}$$

Notar que, a través de los pasos  $a$  y  $b$ , cada vector  $v = (v_1, v_2) \pmod{M}$  queda "transformado" en el entero  $c = v_1a + v_2b \pmod{N}$ . Luego, considerando el isomorfismo entre  $A_M$  y  $Z_N$ ,

$$o(v) = o(c) = \frac{N}{(N, c)}, \quad (38)$$

donde  $o(c)$  denota el orden de  $c$  en  $Z_N$ .

Podemos ya dar las condiciones para la existencia de un ciclo de Hamilton. Con  $d = (a - b, N)$ , tenemos que

$$o((1, -1)) = o(a - b) = \frac{N}{d}. \quad (39)$$

Entonces, la condición (18) se transforma en

$$o((d_1, d_2)) = \frac{N}{(N, d_1a + d_2b)} = \frac{N}{d} \quad (40)$$

con  $d_1, d_2 \geq 0$ ,  $d_1 + d_2 = d$ . Esto es,

$$(N, d_1a + d_2b) = (N, a - b), \quad (41)$$

donde  $d_1a + d_2b = d_1a + (d - d_1)b = db + \lambda(a - b)$  con  $\lambda = d_1 \in [0, d]$ .

Formalmente,

**Teorema 2.** Sea  $D_{N,a,b}$  la red de paso fijo con  $N$  vértices y "pasos"  $a, b$ . Sea  $d = (a - b, N)$ .

Entonces  $D_{N,a,b}$  es hamiltoniano sii existe un entero  $\lambda$ ,  $0 \leq \lambda \leq d$  tal que

$$(n, db + \lambda(a - b)) = d. \quad (42)$$

Los casos triviales  $(a, N) = 1$  ó  $(b, N) = 1$ , en los que se obtiene el ciclo recorriendo  $N$  pasos  $a$  ó  $b$  respectivamente, corresponden a tomar en (42)  $\lambda = d$  ó  $0$ . Estos casos equivalen a las condiciones (21) del Corolario 1. En efecto si, por ejemplo,  $(h, y) = 1$ , podremos elegir en (36)  $\alpha$  y  $\beta$  de manera que  $a = 1$ , y el mismo razonamiento sirve para  $b$ .

Referencias.

- [1] Brauer, A. y Shockley, J. (1962) "On a problem of Frobenius", *J. Reine Angew. Math.*, vol. 211, pp. 215-220.
- [2] Chartrand, G. y Lesniak, L. (1986) *Graphs and Digraphs*, Wadsworth, Monterrey.
- [3] Erdős, P. y Hsu, D.F. (1989) "Distributed loop networks with minimum transmission delay", por aparecer en *Theoretical Computer Science*.
- [4] Esqué, P., Aguiló, F. y Fiol, M.A. (1988) "Double commutative step digraphs with minimum diameter", *French-Israeli Conf. on Combin. and Algorithms*, Israel. Sometido a *Discrete Mathematics*.
- [5] Fiol, M.A. (1982) "Aplicaciones de la Teoría de Grafos al Diseño de Redes de Interconexión de Multiprocesadores", Tesis Doctoral, Univ. Politècnica de Catalunya.
- [6] Fiol, M.A. (1987) "Congruences in  $Z^n$ , finite Abelian groups and the Chinese remainder theorem", *Discrete Math.*, vol. 67, pp. 101-105.
- [7] Fiol, M.A., Yebra, J.L.A., Alegre, I. y Valero, M. (1987) "A discrete optimization problem in local networks and data alignment", *IEEE Trans. Comput.*, vol. c-36, n. 6, pp. 702-713.
- [8] Hwang, F.K. y Xu, Y.H. (1987) "Double loop networks with minimum delay", *Discrete Math.*, vol. 66, pp. 109-118.
- [9] Penn, L.E. y Witte, D. (1983) "When the cartesian product of two directed cycles is hypo-Hamiltonian", *J. Graph Theory*, vol. 7, pp. 441- 443.
- [10] Rankin, R.A. (1948) "A campanological problem in group theory", *Proc. Camb. Philos. Soc.*, vol. 44, pp. 17-25.
- [11] Trotter, W.T. y Erdős, P. (1978) "When the cartesian product of directed cycles is hamiltonian", *J. Graph Theory*, vol. 2, pp. 137-142.

- [12] White, A.T. (1973) "Graphs, Groups and Surfaces", American Elsevier, New York.
- [13] Wong, C.K. y Coppersmith, D. (1974) "A combinatorial problem related to multimode memory organizations", *J. Ass. Comput. Mach.*, vol. 21, pp. 392-402.

Dep. Matemàtica Aplicada i Telemàtica

Univ. Politècnica de Catalunya